

# Résolution numérique des équations différentielles

Jean-Pierre Becirspahic  
Lycée Louis-Le-Grand

# Présentation du problème

Nous nous intéressons aux équations différentielles de la forme :

$$x' = f(x, t)$$

Une **solution** est une fonction  $x$  de classe  $\mathcal{C}^1$  définie sur  $I$  vérifiant :

$$\forall t \in I, \quad x'(t) = f(x(t), t).$$

## Présentation du problème

Nous nous intéressons aux équations différentielles de la forme :

$$x' = f(x, t)$$

Une **solution** est une fonction  $x$  de classe  $\mathcal{C}^1$  définie sur  $I$  vérifiant :

$$\forall t \in I, \quad x'(t) = f(x(t), t).$$

On cherche à résoudre un *problème de CAUCHY* :

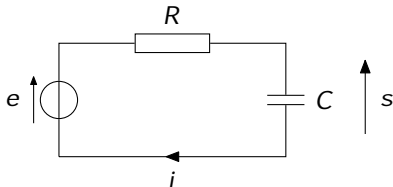
$$\begin{cases} x' = f(x, t) \\ x(t_0) = x_0 \end{cases}$$

Sous certaines conditions ce problème admet une unique solution que nous allons chercher à déterminer numériquement.

# Présentation du problème

## Exemple

Considérons le circuit électrique suivant :

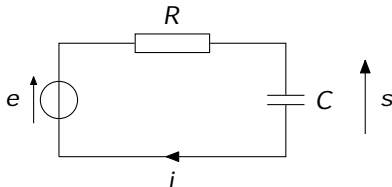


Il est régi par les relations  $s = e - Ri$  et  $i = C \frac{ds}{dt}$  qui conduisent à l'équation différentielle :  $RC \frac{ds}{dt} + s = e$ .

# Présentation du problème

## Exemple

Considérons le circuit électrique suivant :



Il est régi par les relations  $s = e - Ri$  et  $i = C \frac{ds}{dt}$  qui conduisent à l'équation différentielle :  $RC \frac{ds}{dt} + s = e$ .

En posant  $\tau = RC$  on est amené à résoudre le problème de CAUCHY :

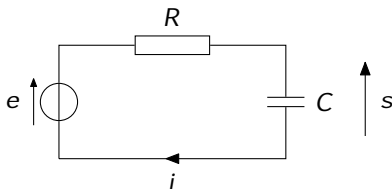
$$\begin{cases} s' = \frac{1}{\tau}(e(t) - s) \\ s(0) = \frac{q_0}{C} \end{cases}$$

où  $q_0$  désigne la charge initiale du condensateur.

# Présentation du problème

## Exemple

Considérons le circuit électrique suivant :

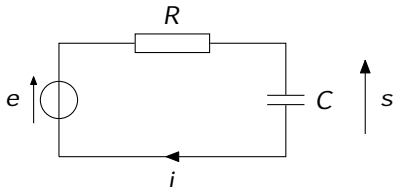


- lorsque  $e(t) = 0$  on obtient :  $s(t) = \frac{q_0}{C} e^{-t/\tau}$ .

# Présentation du problème

## Exemple

Considérons le circuit électrique suivant :



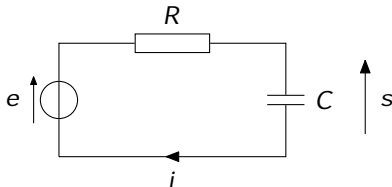
- lorsque  $e(t) = 0$  on obtient :  $s(t) = \frac{q_0}{C} e^{-t/\tau}$ .
- lorsque  $e(t) = E \cos(\omega t)$  on obtient :

$$s(t) = e^{-t/\tau} \left( \frac{q_0}{C} - \frac{E}{1 + \omega^2 \tau^2} \right) + \frac{E}{1 + \omega^2 \tau^2} (\cos(\omega t) + \omega \tau \sin(\omega t))$$

# Présentation du problème

## Exemple

Considérons le circuit électrique suivant :



- lorsque  $e(t) = 0$  on obtient :  $s(t) = \frac{q_0}{C} e^{-t/\tau}$ .
- lorsque  $e(t) = E \cos(\omega t)$  on obtient :

$$s(t) = e^{-t/\tau} \left( \frac{q_0}{C} - \frac{E}{1 + \omega^2 \tau^2} \right) + \frac{E}{1 + \omega^2 \tau^2} (\cos(\omega t) + \omega \tau \sin(\omega t))$$

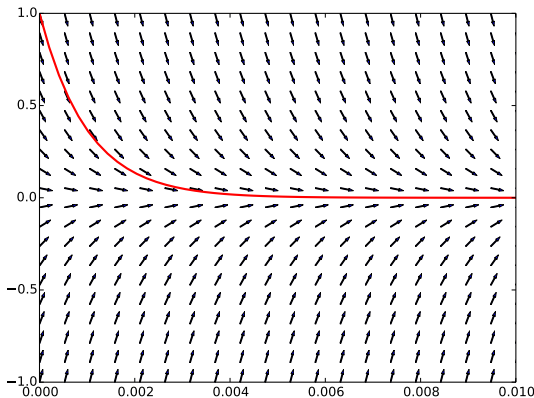
- dans d'autres cas la solution mathématique n'est pas toujours satisfaisante → **on se tourne vers les méthodes de résolution numérique.**



## Champ de vecteurs

On associe à l'équation différentielle  $x' = f(x, t)$  le champ de vecteurs défini par :  $\vec{v}(x, t) = \vec{i} + f(x, t)\vec{j}$ .

Exemple : champ de vecteurs associé à l'équation différentielle  $s' = -s/\tau$ .



Chaque vecteur du champ est tangent à la solution qui passe en ce point.

## Méthode d'EULER explicite

On subdivise l'intervalle  $[t_0, t_0 + T]$  en  $n + 1$  points  $t_0 < t_1 < \dots < t_n = t_0 + T$  et on approche la relation :

$$x(t_{k+1}) - x(t_k) = \int_{t_k}^{t_{k+1}} x'(t) dt = \int_{t_k}^{t_{k+1}} f(x(t), t) dt.$$

## Méthode d'EULER explicite

On subdivise l'intervalle  $[t_0, t_0 + T]$  en  $n + 1$  points  $t_0 < t_1 < \dots < t_n = t_0 + T$  et on approche la relation :

$$x(t_{k+1}) - x(t_k) = \int_{t_k}^{t_{k+1}} x'(t) dt = \int_{t_k}^{t_{k+1}} f(x(t), t) dt.$$

La **méthode d'EULER explicite** approche cette intégrale par la méthode du rectangle gauche :  $\int_{t_k}^{t_{k+1}} f(x(t), t) dt \approx (t_{k+1} - t_k)f(x(t_k), t_k).$

## Méthode d'EULER explicite

On subdivise l'intervalle  $[t_0, t_0 + T]$  en  $n + 1$  points  $t_0 < t_1 < \dots < t_n = t_0 + T$  et on approche la relation :

$$x(t_{k+1}) - x(t_k) = \int_{t_k}^{t_{k+1}} x'(t) dt = \int_{t_k}^{t_{k+1}} f(x(t), t) dt.$$

La **méthode d'EULER explicite** approche cette intégrale par la méthode du rectangle gauche :  $\int_{t_k}^{t_{k+1}} f(x(t), t) dt \approx (t_{k+1} - t_k) f(x(t_k), t_k)$ .

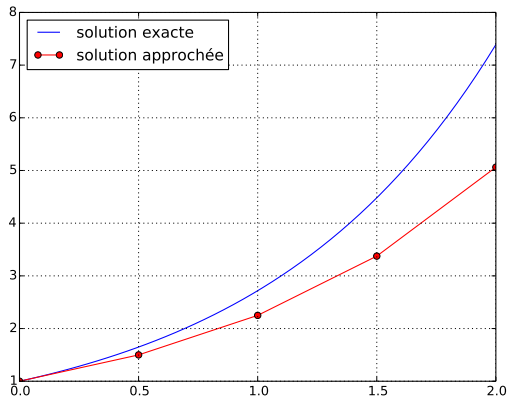
En posant  $h_k = t_{k+1} - t_k$ , on définit une suite de valeurs  $x_0, x_1, \dots, x_n$  à partir de la condition initiale  $x_0$  et de la relation de récurrence :

$$\forall k \in \llbracket 0, n-1 \rrbracket, \quad x_{k+1} = x_k + h_k f(x_k, t_k)$$

# Méthode d'EULER explicite

$$x_{k+1} = x_k + h_k f(x_k, t_k)$$

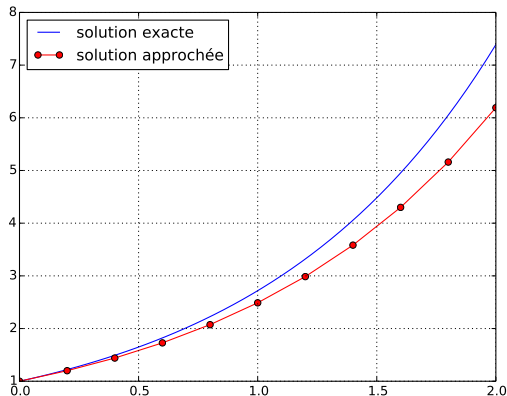
Seul le premier point  $x_0$  est une valeur exacte : les autres sont calculés à partir de l'approximation précédente, ce qui peut conduire à accumuler des erreurs.



# Méthode d'EULER explicite

$$x_{k+1} = x_k + h_k f(x_k, t_k)$$

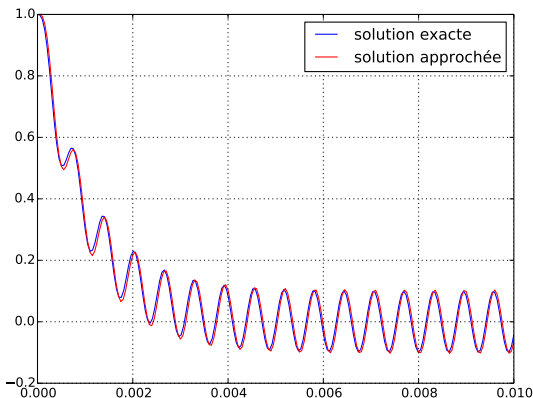
Lorsque la subdivision s'affine la précision en général s'améliore (sans pour autant faire disparaître le phénomène de divergence).



# Méthode d'EULER explicite

$$x_{k+1} = x_k + h_k f(x_k, t_k)$$

Dans de nombreux cas la méthode d'EULER procure des résultats acceptables (au moins qualitativement).



## Méthode d'EULER explicite

$$x_{k+1} = x_k + h_k f(x_k, t_k)$$

Dans de nombreux cas la méthode d'EULER procure des résultats acceptables (au moins qualitativement).

Les exemples présentés utilisent une subdivision de pas régulier ; cependant de meilleurs résultats sont obtenus en adaptant le pas à la fonction  $f$  (méthode à pas **adaptatif**) : si  $f(x_k, t_k)$  est faible alors  $x$  varie peu et on peut utiliser un pas plus grand. On contraire, on réduira le pas lorsque la valeur de  $f(x_k, t_k)$  augmente.



## Méthode d'EULER implicite

Elle consiste à approcher l'intégrale  $\int_{t_k}^{t_{k+1}} f(x(t), t) dt$  par la méthode du rectangle droit, ce qui conduit à définir la suite  $(x_0, x_1, \dots, x_n)$  par :

$$x_{k+1} = x_k + h_k f(x_{k+1}, t_{k+1}).$$

Il est nécessaire de coupler cette méthode à une méthode de résolution numérique des équations.

## Méthode d'EULER implicite

Elle consiste à approcher l'intégrale  $\int_{t_k}^{t_{k+1}} f(x(t), t) dt$  par la méthode du rectangle droit, ce qui conduit à définir la suite  $(x_0, x_1, \dots, x_n)$  par :

$$x_{k+1} = x_k + h_k f(x_{k+1}, t_{k+1}).$$

Il est nécessaire de coupler cette méthode à une méthode de résolution numérique des équations.

Dans la pratique, la méthode d'EULER implicite se révèle souvent plus stable que la méthode explicite : elle est **moins précise à court terme**, mais **diverge moins rapidement de la solution exacte** que la méthode explicite.

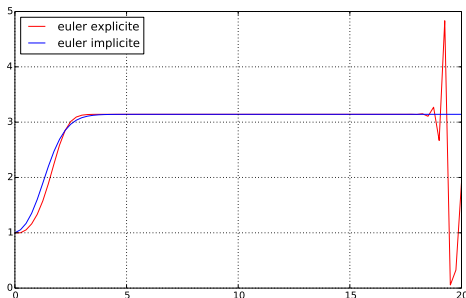
## Méthode d'EULER implicite

Elle consiste à approcher l'intégrale  $\int_{t_k}^{t_{k+1}} f(x(t), t) dt$  par la méthode du rectangle droit, ce qui conduit à définir la suite  $(x_0, x_1, \dots, x_n)$  par :

$$x_{k+1} = x_k + h_k f(x_{k+1}, t_{k+1}).$$

Il est nécessaire de coupler cette méthode à une méthode de résolution numérique des équations.

**Exemple :** on résout  $x' = t \sin(x)$  avec  $x(0) = 1$ .



## Méthode d'EULER implicite

Elle consiste à approcher l'intégrale  $\int_{t_k}^{t_{k+1}} f(x(t), t) dt$  par la méthode du rectangle droit, ce qui conduit à définir la suite  $(x_0, x_1, \dots, x_n)$  par :

$$x_{k+1} = x_k + h_k f(x_{k+1}, t_{k+1}).$$

Il est nécessaire de coupler cette méthode à une méthode de résolution numérique des équations.

**Exemple** : on résout  $x' = t \sin(x)$  avec  $x(0) = 1$ .

**EULER explicite** :  $x_{k+1} = x_k + ht_k \sin(x_k)$ .

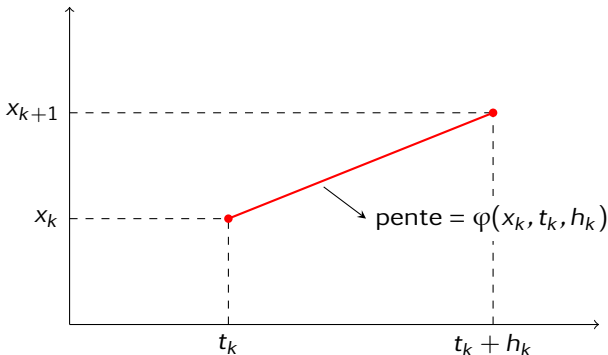
$\sin(x_k) \approx 0$  et  $t_k \rightarrow +\infty$ . Progressivement  $t_k$  prend le pas sur  $\sin(x_k)$ . Dès lors, le comportement de la suite  $x$  devient chaotique.

## Schéma numérique

On appelle **schéma numérique explicite à un pas** toute équation de récurrence de la forme :

$$\forall k \in \llbracket 0, n-1 \rrbracket, \quad x_{k+1} = x_k + h_k \varphi(x_k, t_k, h_k)$$

$\varphi(x, t, h)$  est la valeur qui approche la dérivée entre  $t$  et  $t + h$  :



**Exemple :** la méthode d'EULER correspond au schéma  $\varphi(x, t, h) = f(x, t)$ .

# Schéma numérique

Autre schémas

Un schéma numérique implicite à un pas prend la forme :

$$x_{k+1} = x_k + h_k \varphi(x_k, x_{k+1}, t_k, h_k)$$

c'est le cas par exemple de la méthode d'EULER implicite.

Un schéma numérique explicite à  $p$  pas prend la forme :

$$x_{k+1} = x_k + h_k \varphi(x_k, x_{k-1}, \dots, x_{k-p+1}, t_k, h_k)$$

Le calcul de  $x_k$  n'est possible qu'à partir de l'indice  $p$  et la méthode doit être complétée par un calcul initial des  $p$  premières valeurs, par exemple par une méthode à un pas.

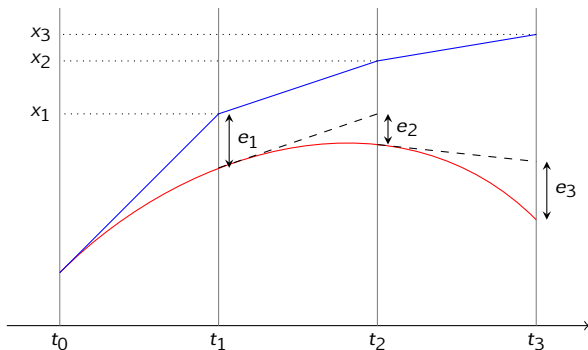
Aucun de ces deux schémas ne sera abordé dans la suite de ce cours.

# Schéma numérique

Erreur de consistance

L'**erreur de consistance** est définie par :

$$e_{k+1} = x(t_{k+1}) - x(t_k) - h_k \varphi(x(t_k), t_k, h_k).$$

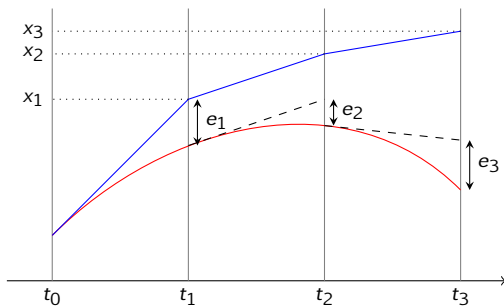


Un schéma est dit d'**ordre  $p$**  lorsque  $e_{k+1} = O(h_k^{p+1})$ .

Une méthode numérique est dite **consistante** lorsque :  $\lim_{n \rightarrow +\infty} \sum_{k=1}^n e_k = 0$ .

# Schéma numérique

Erreur de consistance

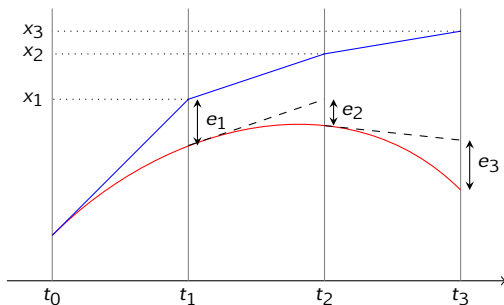


À la date  $t_1$ ,  $x(t_1) = x_1 + e_1$ .



# Schéma numérique

Erreur de consistance

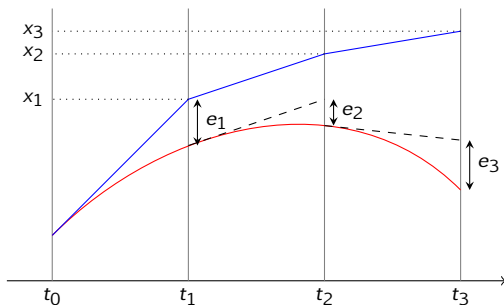


À la date  $t_1$ ,  $x(t_1) = x_1 + e_1$ .

À la date  $t_2$ ,  $x(t_2) = x_2 + (e_1 + e_2) + h_1(\varphi(x(t_1), t_1, h_1) - \varphi(x_1, t_1, h_1))$

# Schéma numérique

Erreur de consistance



À la date  $t_1$ ,  $x(t_1) = x_1 + e_1$ .

À la date  $t_2$ ,  $x(t_2) = x_2 + (e_1 + e_2) + h_1(\varphi(x(t_1), t_1, h_1) - \varphi(x_1, t_1, h_1))$

À la date  $t_3$ ,

$x(t_3) = x_3 + (e_1 + e_2 + e_3)$

$+ h_1(\varphi(x(t_1), t_1, h_1) - \varphi(x_1, t_1, h_1)) + h_2(\varphi(x(t_2), t_2, h_2) - \varphi(x_2, t_2, h_2))$

# Schéma numérique

## Erreur de consistance

Lorsque  $f$  est de classe  $\mathcal{C}^1$  la méthode d'EULER est une méthode consistante d'ordre 1.

# Schéma numérique

Erreur de consistance

Lorsque  $f$  est de classe  $\mathcal{C}^1$  la méthode d'EULER est une méthode consistante d'ordre 1.

Si  $f$  est  $\mathcal{C}^1$  alors  $x$  est  $\mathcal{C}^2$  et :

$$x(t_{k+1}) = x(t_k + h_k) = x(t_k) + h_k x'(t_k) + O(h_k^2) = x(t_k) + h_k f(x(t_k), t_k) + O(h_k^2)$$

# Schéma numérique

## Erreur de consistance

Lorsque  $f$  est de classe  $\mathcal{C}^1$  la méthode d'EULER est une méthode consistante d'ordre 1.

Si  $f$  est  $\mathcal{C}^1$  alors  $x$  est  $\mathcal{C}^2$  et :

$$x(t_{k+1}) = x(t_k + h_k) = x(t_k) + h_k x'(t_k) + O(h_k^2) = x(t_k) + h_k f(x(t_k), t_k) + O(h_k^2)$$

Ainsi,  $x(t_{k+1}) - x(t_k) - h_k f(x(t_k), t_k) = O(h_k^2)$ , soit  $e_{k+1} = O(h_k^2)$ . **La méthode d'EULER est d'ordre 1.**

# Schéma numérique

## Erreur de consistance

Lorsque  $f$  est de classe  $\mathcal{C}^1$  la méthode d'EULER est une méthode consistante d'ordre 1.

Si  $f$  est  $\mathcal{C}^1$  alors  $x$  est  $\mathcal{C}^2$  et :

$$x(t_{k+1}) = x(t_k + h_k) = x(t_k) + h_k x'(t_k) + O(h_k^2) = x(t_k) + h_k f(x(t_k), t_k) + O(h_k^2)$$

Ainsi,  $x(t_{k+1}) - x(t_k) - h_k f(x(t_k), t_k) = O(h_k^2)$ , soit  $e_{k+1} = O(h_k^2)$ . La méthode d'EULER est d'ordre 1.

On utilise maintenant l'égalité de TAYLOR-LAGRANGE : il existe  $\tau_k \in ]t_k, t_{k+1}[$  tq :

$$x(t_{k+1}) = x(t_k) + h_k x'(t_k) + \frac{h_k^2}{2} x''(\tau_k) = x(t_k) + h_k f(x(t_k), t_k) + \frac{h_k^2}{2} x''(\tau_k)$$

# Schéma numérique

## Erreur de consistance

Lorsque  $f$  est de classe  $\mathcal{C}^1$  la méthode d'EULER est une méthode consistante d'ordre 1.

Si  $f$  est  $\mathcal{C}^1$  alors  $x$  est  $\mathcal{C}^2$  et :

$$x(t_{k+1}) = x(t_k + h_k) = x(t_k) + h_k x'(t_k) + O(h_k^2) = x(t_k) + h_k f(x(t_k), t_k) + O(h_k^2)$$

Ainsi,  $x(t_{k+1}) - x(t_k) - h_k f(x(t_k), t_k) = O(h_k^2)$ , soit  $e_{k+1} = O(h_k^2)$ . La méthode d'EULER est d'ordre 1.

On utilise maintenant l'égalité de TAYLOR-LAGRANGE : il existe  $\tau_k \in ]t_k, t_{k+1}[$  tq :

$$x(t_{k+1}) = x(t_k) + h_k x'(t_k) + \frac{h_k^2}{2} x''(\tau_k) = x(t_k) + h_k f(x(t_k), t_k) + \frac{h_k^2}{2} x''(\tau_k)$$

Autrement dit,  $|e_{k+1}| = \frac{h_k^2}{2} |x''(\tau_k)| \leq \frac{M_2}{2} h_k^2$ .

# Schéma numérique

## Erreur de consistance

Lorsque  $f$  est de classe  $\mathcal{C}^1$  la méthode d'EULER est une méthode consistante d'ordre 1.

Si  $f$  est  $\mathcal{C}^1$  alors  $x$  est  $\mathcal{C}^2$  et :

$$x(t_{k+1}) = x(t_k + h_k) = x(t_k) + h_k x'(t_k) + O(h_k^2) = x(t_k) + h_k f(x(t_k), t_k) + O(h_k^2)$$

Ainsi,  $x(t_{k+1}) - x(t_k) - h_k f(x(t_k), t_k) = O(h_k^2)$ , soit  $e_{k+1} = O(h_k^2)$ . La méthode d'EULER est d'ordre 1.

On utilise maintenant l'égalité de TAYLOR-LAGRANGE : il existe  $\tau_k \in ]t_k, t_{k+1}[$  tq :

$$x(t_{k+1}) = x(t_k) + h_k x'(t_k) + \frac{h_k^2}{2} x''(\tau_k) = x(t_k) + h_k f(x(t_k), t_k) + \frac{h_k^2}{2} x''(\tau_k)$$

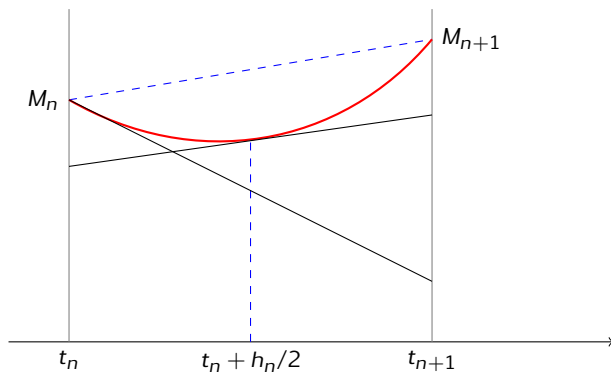
Autrement dit,  $|e_{k+1}| = \frac{h_k^2}{2} |x''(\tau_k)| \leq \frac{M_2}{2} h_k^2$ .

Lorsque  $h_k = \frac{T}{n}$ ,  $|e_{k+1}| \leq \frac{M_2 T^2}{2n^2}$  et :  $\left| \sum_{k=1}^n e_k \right| \leq \sum_{k=1}^n |e_k| \leq \frac{M_2 T}{2n} \xrightarrow{n \rightarrow +\infty} 0$ .



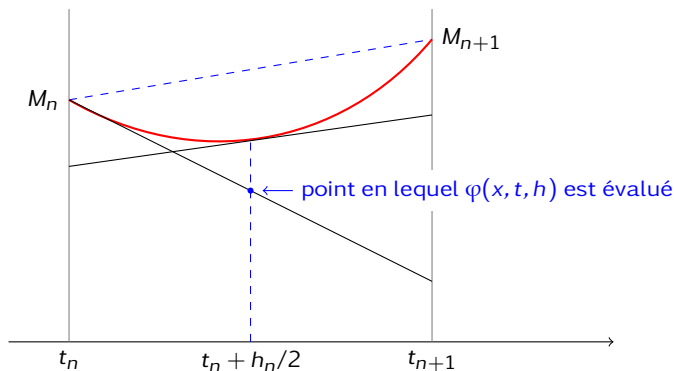
## Méthode du point milieu

En général, la pente de  $[M_n, M_{n+1}]$  est plus proche de  $x'(t_n + h_n/2)$  (pente de la tangente au point milieu) que de  $x'(t_n)$ .



## Méthode du point milieu

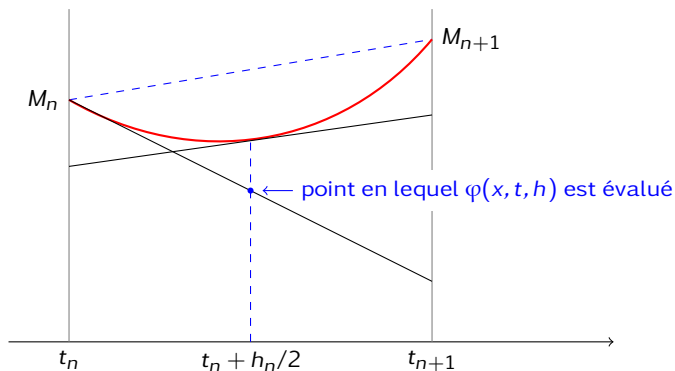
En général, la pente de  $[M_n, M_{n+1}]$  est plus proche de  $x'(t_n + h_n/2)$  (pente de la tangente au point milieu) que de  $x'(t_n)$ .



La méthode du point milieu consiste à évaluer la dérivée non pas en  $(t_n, x_n)$  (EULER) mais en  $(t_n + \frac{h_n}{2}, x_n + \frac{h_n}{2} f(x_n, t_n))$ .

## Méthode du point milieu

En général, la pente de  $[M_n, M_{n+1}]$  est plus proche de  $x'(t_n + h_n/2)$  (pente de la tangente au point milieu) que de  $x'(t_n)$ .

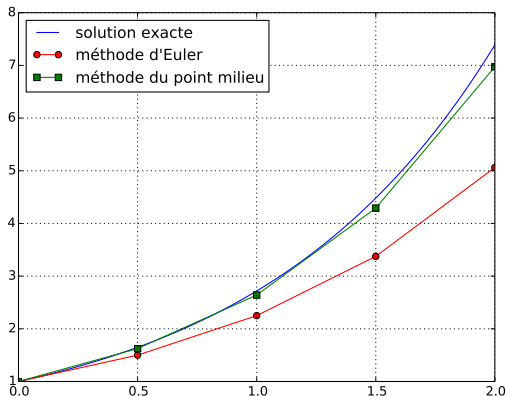


On aboutit aux relations :

$$x_{n+1/2} = x_n + \frac{h_n}{2} f(x_n, t_n) \quad \text{puis} \quad x_{n+1} = x_n + h_n f(x_{n+1/2}, t_n + h_n/2)$$

## Méthode du point milieu

Nous admettrons que sous des hypothèses suffisantes la méthode du point milieu est une méthode consistante d'ordre 2.



Résolution de  $x' = x$ ,  $x(0) = 1$  sur  $[0, 2]$  avec  $n = 4$ .

# Méthodes de Runge-Kutta

Une méthode  $RK_s$  est définie par le schéma :

$$k_1 = f(x, t)$$

$$k_2 = f(x + (a_{21}k_1)h, t + c_2h)$$

$$\vdots$$

$$k_s = f\left(x + \left(\sum_{i=1}^{s-1} a_{si}k_i\right)h, t + c_s h\right)$$

$$\varphi(x, t, h) = \sum_{i=1}^s b_i k_i$$

où  $c_i$ ,  $a_{ij}$  et  $b_i$  sont des constantes qui définissent précisément le schéma.

On supposera  $c_1 = 0$ ,  $c_i = \sum_{j=1}^{i-1} a_{ij}$  et  $\sum_{i=1}^s b_i = 1$ .

## Méthodes de Runge-Kutta

Une méthode  $RK_s$  est définie par le schéma :

$$k_1 = f(x, t)$$

$$k_2 = f(x + (a_{21}k_1)h, t + c_2h)$$

$$\vdots$$

$$k_s = f\left(x + \left(\sum_{i=1}^{s-1} a_{si}k_i\right)h, t + c_s h\right)$$

$$\varphi(x, t, h) = \sum_{i=1}^s b_i k_i$$

où  $c_i$ ,  $a_{ij}$  et  $b_i$  sont des constantes qui définissent précisément le schéma.

On supposera  $c_1 = 0$ ,  $c_i = \sum_{j=1}^{i-1} a_{ij}$  et  $\sum_{i=1}^s b_i = 1$ .

La méthode de du point milieu est de type  $RK_2$  car définie par :

$$k_1 = f(x, t)$$

$$k_2 = f(x + hk_1/2, t + h/2)$$

$$\varphi(x, t, h) = k_2$$

# Méthodes de Runge-Kutta

Une méthode  $RK_s$  est définie par le schéma :

$$k_1 = f(x, t)$$

$$k_2 = f(x + (a_{21}k_1)h, t + c_2h)$$

$$\vdots$$

$$k_s = f\left(x + \left(\sum_{i=1}^{s-1} a_{si}k_i\right)h, t + c_s h\right)$$

$$\varphi(x, t, h) = \sum_{i=1}^s b_i k_i$$

On représente une méthode  $RK_s$  à l'aide de son **tableau de BUTCHER** :

$c_1$					
$c_2$	$a_{21}$				
$c_3$	$a_{31}$	$a_{32}$			
$\vdots$	$\vdots$	$\vdots$	$\ddots$		
$c_s$	$a_{s1}$	$a_{s2}$	$\cdots$	$a_{s,s-1}$	
	$b_1$	$b_2$	$\cdots$	$b_{s-1}$	$b_s$

# Méthodes de Runge-Kutta

En général une méthode  $RK_s$  est d'ordre  $s$ .



# Méthodes de Runge-Kutta

En général une méthode  $RK_s$  est d'ordre  $s$ .

Méthode d'EULER (ordre 1) :

$$\frac{0}{1}$$

$$\varphi(x, t, h) = f(x, t)$$

# Méthodes de Runge-Kutta

En général une méthode  $RK_s$  est d'ordre  $s$ .

Méthode du point milieu (ordre 2) :

$$\begin{array}{c|c} 0 & \\ 1/2 & 1/2 \\ \hline & 0 \quad 1 \end{array}$$

$$k_1 = f(x, t)$$

$$k_2 = f(x + hk_1/2, t + h/2)$$

$$\varphi(x, t, h) = k_2$$

# Méthodes de Runge-Kutta

En général une méthode  $RK_s$  est d'ordre  $s$ .

Méthode de HEUN (ordre 2) :

$$\begin{array}{c|cc} 0 & & \\ 1 & 1 & \\ \hline & 1/2 & 1/2 \end{array}$$

$$k_1 = f(x, t)$$

$$k_2 = f(x + hk_1, t + h)$$

$$\varphi(x, t) = k_1/2 + k_2/2$$

# Méthodes de Runge-Kutta

En général une méthode  $RK_s$  est d'ordre  $s$ .

Méthode  $RK_4$  classique (ordre 4) :

0				
1/2	1/2			
1/2	0	1/2		
1	0	0	1	
	1/6	2/6	2/6	1/6

# Méthodes de Runge-Kutta

En général une méthode  $RK_s$  est d'ordre  $s$ .

Méthode  $RK_4$  classique (ordre 4) :

0				
1/2	1/2			
1/2	0	1/2		
1	0	0	1	
	1/6	2/6	2/6	1/6

$$k_1 = f(x, t)$$

$$k_2 = f(x + hk_1/2, t + h/2)$$

$$k_3 = f(x + hk_2/2, t + h/2)$$

$$k_4 = f(x + hk_3, t + h)$$

$$\varphi(x, t) = k_1/6 + k_2/3 + k_3/3 + k_4/6$$

# Systèmes différentiels

On considère un système de  $p$  équations différentielles liant  $p$  fonctions numériques  $x_1, \dots, x_p$  :

$$\left\{ \begin{array}{l} x_1' = f_1(x_1, x_2, \dots, x_n, t) \\ x_2' = f_2(x_1, x_2, \dots, x_n, t) \\ \dots = \dots\dots\dots \\ x_p' = f_p(x_1, x_2, \dots, x_n, t) \end{array} \right.$$

# Systèmes différentiels

On considère un système de  $p$  équations différentielles liant  $p$  fonctions numériques  $x_1, \dots, x_p$  :

$$\left\{ \begin{array}{l} x_1' = f_1(x_1, x_2, \dots, x_n, t) \\ x_2' = f_2(x_1, x_2, \dots, x_n, t) \\ \dots = \dots \\ x_p' = f_p(x_1, x_2, \dots, x_n, t) \end{array} \right.$$

Ces  $p$  fonctions numériques constituent les  $p$  composantes de la fonction vectorielle  $X$  à valeurs dans  $\mathbb{R}^p$  et définie par :  $X = (x_1, x_2, \dots, x_p)$ .

# Systèmes différentiels

On considère un système de  $p$  équations différentielles liant  $p$  fonctions numériques  $x_1, \dots, x_p$  :

$$\begin{cases} x_1' = f_1(x_1, x_2, \dots, x_n, t) \\ x_2' = f_2(x_1, x_2, \dots, x_n, t) \\ \dots = \dots\dots\dots \\ x_p' = f_p(x_1, x_2, \dots, x_n, t) \end{cases}$$

Ces  $p$  fonctions numériques constituent les  $p$  composantes de la fonction vectorielle  $X$  à valeurs dans  $\mathbb{R}^p$  et définie par :  $X = (x_1, x_2, \dots, x_p)$ .

On considère la fonction vectorielle  $F$  dont les fonctions  $f_1, \dots, f_p$  sont les composantes :

$$F(x_1, \dots, x_p, t) = (f_1(x_1, \dots, x_p, t), f_2(x_1, \dots, x_p, t), \dots, f_p(x_1, \dots, x_p, t)).$$

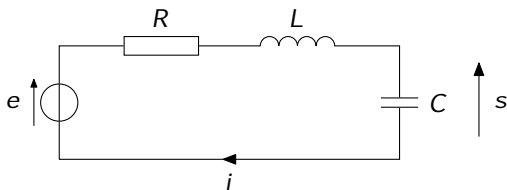
La fonction vectorielle  $X$  vérifie l'équation différentielle suivante :

$$X' = F(X, t)$$



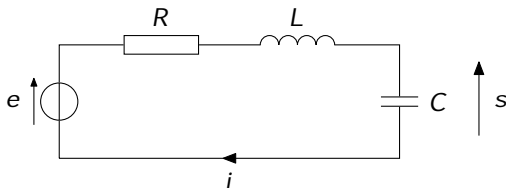
# Systèmes différentiels

Exemple



# Systèmes différentiels

Exemple

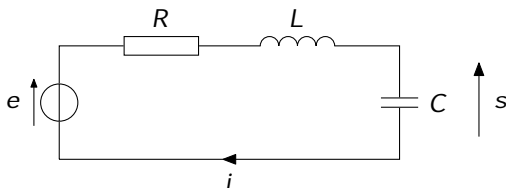


Il est régi par les relations  $s = e - Ri - L \frac{di}{dt}$  et  $i = C \frac{ds}{dt}$  qui conduisent au système différentiel :

$$\begin{cases} \frac{di}{dt} = \frac{1}{L}(-Ri - s + e) \\ \frac{ds}{dt} = \frac{i}{C} \end{cases}$$

# Systèmes différentiels

Exemple



Il est régi par les relations  $s = e - Ri - L \frac{di}{dt}$  et  $i = C \frac{ds}{dt}$  qui conduisent au système différentiel :

$$\begin{cases} \frac{di}{dt} = \frac{1}{L}(-Ri - s + e) \\ \frac{ds}{dt} = \frac{i}{C} \end{cases}$$

Le vecteur  $X = (i, s)$  est solution de l'équation différentielle  $X' = F(X, t)$  avec  $F((i, s), t) = \left( \frac{1}{L}(-Ri - s + e(t)), \frac{i}{C} \right)$ .

# Systèmes différentiels

## Exemple

$$\begin{cases} \frac{di}{dt} = \frac{1}{L}(-Ri - s + e) \\ \frac{ds}{dt} = \frac{i}{C} \end{cases}$$

Dans le cas vectoriel, la méthode d'EULER calcule la suite de vecteurs  $(X_k)_{1 \leq k \leq n}$  à l'aide des formules :

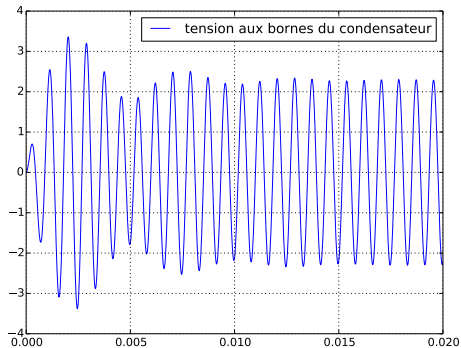
$$X_{k+1} = X_k + h_k F(X_k, t_k) \quad \text{avec} \quad h_k = t_{k+1} - t_k$$

$$\begin{cases} i_{k+1} = i_k + \frac{h_k}{L}(-Ri_k - s_k + e(t_k)) \\ s_{k+1} = s_k + h_k \frac{i_k}{C} \end{cases}$$

# Systèmes différentiels

Exemple

$$\begin{cases} \frac{di}{dt} = \frac{1}{L}(-Ri - s + e) \\ \frac{ds}{dt} = \frac{i}{C} \end{cases}$$



## Équations différentielles d'ordre 2

Considérons maintenant une équation différentielle d'ordre 2 :

$$x'' = f(x, x', t)$$

On résout un système différentiel en considérant le vecteur  $X = (x, x')$  :

$$\begin{cases} x' = y \\ y' = f(x, y, t) \end{cases} \quad \text{soit} \quad X' = F(X, t) \quad \text{avec} \quad F((x, y), t) = (y, f(x, y, t)).$$

## Équations différentielles d'ordre 2

Considérons maintenant une équation différentielle d'ordre 2 :

$$x'' = f(x, x', t)$$

On résout un système différentiel en considérant le vecteur  $X = (x, x')$  :

$$\begin{cases} x' = y \\ y' = f(x, y, t) \end{cases} \quad \text{soit} \quad X' = F(X, t) \quad \text{avec} \quad F((x, y), t) = (y, f(x, y, t)).$$

**Exemple.** On résout :

$$\frac{d^2\theta}{dt^2} + \omega^2 \sin(\theta) = 0 \quad \text{avec} \quad \omega^2 = \frac{g}{\ell}.$$

en se ramenant au système différentiel :

$$\begin{cases} \frac{d\theta}{dt} = \dot{\theta} \\ \frac{d\dot{\theta}}{dt} = -\omega^2 \sin(\theta) \end{cases}$$

## Équations différentielles d'ordre 2

$$\begin{cases} \frac{d\theta}{dt} = \dot{\theta} \\ \frac{d\dot{\theta}}{dt} = -\omega^2 \sin(\theta) \end{cases}$$

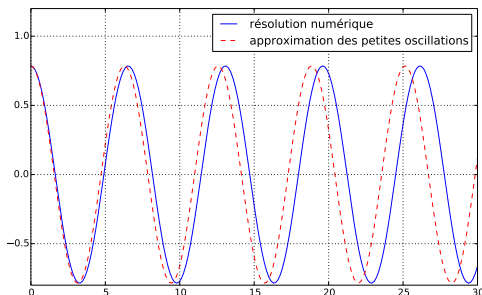
La méthode d'EULER consiste à itérer les deux suites :

$$\begin{cases} \theta_{k+1} = \theta_k + h_k \dot{\theta}_k \\ \dot{\theta}_{k+1} = \dot{\theta}_k - \omega^2 h_k \sin(\theta_k) \end{cases} \quad \text{avec} \quad h_k = t_{k+1} - t_k.$$



# Équations différentielles d'ordre 2

$$\begin{cases} \frac{d\theta}{dt} = \dot{\theta} \\ \frac{d\dot{\theta}}{dt} = -\omega^2 \sin(\theta) \end{cases}$$



# Utilisation de la fonction `odeint`

La fonction `odeint` du module `scipy.integrate` est dédiée à la résolution des équations différentielles vectorielles.

```
odeint(func, y0, t)
```

Integrate a system of ordinary differential equations.

Solve a system of ordinary differential equations:

$$dy/dt = \text{func}(y, t0)$$

where `y` can be a vector.

Parameters

`func` : callable(`y`, `t0`)

Computes the derivative of `y` at `t0`.

`y0` : array

Initial condition on `y` (can be a vector).

`t` : array

A sequence of time points for which to solve for `y`. The initial value point should be the first element of this sequence.

Returns

`y` : array, shape (len(`t`), len(`y0`))

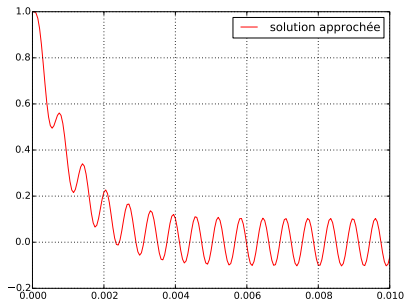
Array containing the value of `y` for each desired time in `t`, with the initial value `y0` in the first row.

# Utilisation de la fonction odeint

Résolution d'une équation scalaire

$$\frac{ds}{dt} = \frac{1}{\tau}(e(t) - s) \quad \text{avec} \quad s(0) = \frac{q_0}{C}.$$

```
def f(s, t):  
    return (e(t) - s) / tau  
  
t = np.linspace(0, .01, 200)  
s = odeint(f, q0/C, t)  
  
plot (t, s)
```



# Utilisation de la fonction odeint

Résolution d'un système différentiel

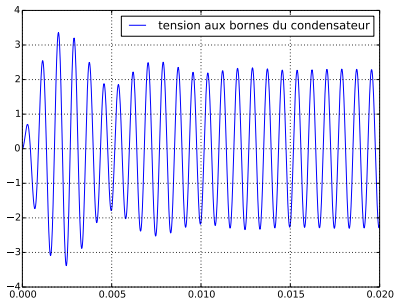
$$\begin{cases} \frac{di}{dt} = \frac{1}{L}(-Ri - s - e(t)) \\ \frac{ds}{dt} = \frac{i}{C} \end{cases}$$

avec  $i(0) = 0$  et  $s(0) = 0$ .

```
def f(x, t):
    [i, s] = x
    return [(-R*i-s-e(t))/L, i/C]
```

```
t = np.linspace(0, .02, 200)
x = odeint(f, [0, 0], t)
```

```
plot (t, x[:, 1])
```



Le tableau  $x$  contient  $n + 1$  vecteurs de la forme  $[i_k, s_k]$  :

$$x = \left[ [i_0, s_0], [i_1, s_1], \dots, [i_k, s_k], \dots, [i_n, s_n] \right]$$

# Utilisation de la fonction odeint

Résolution d'un système différentiel

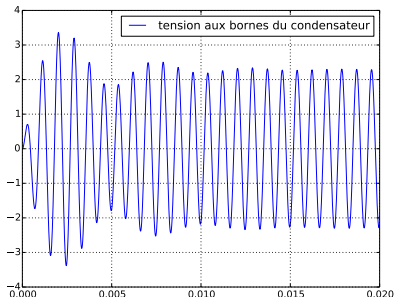
$$\begin{cases} \frac{di}{dt} = \frac{1}{L}(-Ri - s - e(t)) \\ \frac{ds}{dt} = \frac{i}{C} \end{cases}$$

avec  $i(0) = 0$  et  $s(0) = 0$ .

```
def f(x, t):
    [i, s] = x
    return [(-R*i-s-e(t))/L, i/C]
```

```
t = np.linspace(0, .02, 200)
x = odeint(f, [0, 0], t)
```

```
plot (t, x[:, 1])
```



Le slicing  $x[:, 1]$  extrait de ce tableau le tableau :

$$x[:, 1] = [s_0, s_1, \dots, s_k, \dots, s_n]$$

# Utilisation de la fonction odeint

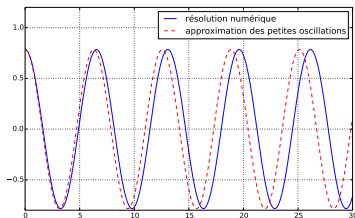
Résolution d'une équation du second ordre

$$\begin{cases} \frac{d\theta}{dt} = \dot{\theta} \\ \frac{d\dot{\theta}}{dt} = -\omega^2 \sin(\theta) \end{cases} \quad \text{avec} \quad \theta(0) = \theta_0 \text{ et } \dot{\theta}(0) = 0.$$

```
def f(x, t):
    [theta, dtheta] = x
    return [dtheta, -omega**2*sin(theta)]
```

```
t = np.linspace(0, 30, 200)
x = odeint(f, [theta0, 0], t)
```

```
plot (t, x[:, 0])
```



# Utilisation de la fonction odeint

Résolution d'une équation du second ordre

$$\begin{cases} \frac{d\theta}{dt} = \dot{\theta} \\ \frac{d\dot{\theta}}{dt} = -\omega^2 \sin(\theta) \end{cases} \quad \text{avec} \quad \theta(0) = \theta_0 \text{ et } \dot{\theta}(0) = 0.$$

Les valeurs de  $\theta$  sont dans  $x[:, 0]$  et celles de  $\dot{\theta}$  dans  $x[:, 1]$ . Il est dès lors facile d'obtenir le diagramme des phases :

```
plot(x[:, 0], x[:, 1])
```

